

積分方程式法による異方性弾性体の三次元解析

京都大学工学部 正員 小林昭一
 京都大学工学部 正員 西村直志
 メンバー 学生員 ○丸岡 駿

1. はじめに

最近、積分方程式を利用した種々の境界値・初期値問題の解析例が報告されてい。今回、この積分方程式法を三次元異方性弾性体の応力・変位解析に適用した。異方性としては、横等方性弾性体を想定し、つり合い式などの基本方程式を組み合わせ、Fourier 変換により、基本解を導いた。この基本解をもとに一重層ポテンシャル法により、積分方程式に定式化した。さらにこれを二・三の境界値・初期値問題に適用し、解の検討を加えた。

2. 基本解と定式化

横等方性弾性体の場合、デカルト座標系を用い応力・歪関係を示すと2種の弾性定数を必要とする。異方性主軸を3軸とし、以下のような関係式を今回使用した。(くり返される添え字は総和規約に従う。)

$$\begin{cases} \tau_{\alpha\beta} = ((C_{11} - 2C_{66})U_{r,r} + C_{13}U_{3,r})\delta_{\alpha\beta} + C_{66}(U_{\alpha,\beta} + U_{\beta,\alpha}) \\ \tau_{3\alpha} = \tau_{\alpha 3} = C_{44}(U_{3,\alpha} + U_{\alpha,3}) \\ \tau_{23} = C_{13}U_{\alpha,\alpha} + C_{33}U_{3,\alpha} \end{cases} \quad (1)$$

ここで α, β は1又は2を示す。 C_{ij} : 弹性定数。 $U_{\alpha,\beta}$: α 方向の変位 u_i の β による偏微分。

この応力・歪関係式をもとに、Fourier 変換を用い基本解を求めるところとなる。

$$\Gamma = \frac{1}{4\pi} \left[\begin{array}{l} \left(\frac{(1x_3)C_{\alpha\beta}}{R_i R_i^+ + R_i(R_i^+)^2} + \frac{\partial x_i X_\alpha X_\beta}{R_i R_i^+} \right) C_{66} + \sum_{i=2}^3 \frac{K_i \left(\frac{\partial x_i}{R_i} - \frac{\partial x_i X_\alpha}{R_i(R_i^+)^2} \right)}{C_{44}} + \sum_{i=2}^3 \frac{L_i X_\alpha}{C_{44} R_i R_i^+} \text{sign}(x_3) \\ \sum_{i=2}^3 \frac{L_i X_\beta}{C_{44} R_i R_i^+} \cdot \text{sign}(x_3) \\ \sum_{i=2}^3 \frac{M_i}{C_{44} R_i} \end{array} \right] \quad (2)$$

$$ここで R_i = \sqrt{\partial x_i X_\alpha X_\alpha + |X_3|^2}, R_i^+ = R_i + |X_3| \quad (1 \leq i \leq 3)$$

$$K_2 = \frac{\partial x_2 C_{44} - C_{33}}{C_{11}(\partial x_2 - \partial x_3)}, \quad L_2 = \frac{(C_{13} + C_{44})\partial x_2}{C_{11}(\partial x_2 - \partial x_3)}, \quad M_2 = \frac{C_{11}\partial x_2 - C_{44}}{C_{11}(\partial x_2 - \partial x_3)}, \quad K_3, L_3, M_3 \text{ は各々 } \partial x_2 \text{ と } \partial x_3 \text{ を入れ替えて求まる。}$$

また、 $\partial x_1 = C_{44}/C_{66}$, $\partial x_2, \partial x_3$ は以下の方程式の根として求まる。

$$\partial x^2 - \frac{C_{44}^2 + C_{11}C_{33} - (C_{13} + C_{44})^2}{C_{11} \cdot C_{44}} \partial x + \frac{C_{33}}{C_{11}} = 0$$

次に積分方程式への定式化について述べる。一重層ポテンシャル法を用いると、滑らかな境界 C 上で、以下の式が成り立つ。(外部境界値問題の場合)

$$\tau_{ij} \cdot n_j = \frac{1}{2} \varphi_i + \int_C n_j \cdot G_{ij}^k \varphi_k dS \quad (3)$$

なお G_{ij}^k は k 方向に力が働くいたときの基本解による応力を示す。また ψ は境界上に分布する密度である。この(3)式を解くことにより、密度 ψ を求め変位・応力を計算する。

3. 解の検討

(3)式を数値的に解いて求まる変位・応力は今回、以下のような手法により解釈の検討を加えた。

1) 基本解を用い、点 (l, l, l) に大きさ P 、方向 x_1 の集中荷重が働くいたときの各点での応力・変位を求め解析解とした。

2) Fig. A のような仮想の境界を考え、りと同様の集中荷重が働くいた時の各要素上でのTractionを求めた。各要素上の密度 ψ は、要素工で一定とした。

3) 2)で求めた値を(3)式に代入し、各要素工での密度 ψ を求めた。これを基に、各点での応力・変位を求め、1)の解析解と比較検討した。

以上の方法で検討した変位・応力がFig. 1, 2である。弾性定数は以下の値とした。

C_{11}	C_{66}	C_{13}	C_{44}	C_{33}	(P/l^2)
20.0	5.0	5.0	2.5	10.0	

なお、この場合、異方性主軸に関連する弾性定数 C_{13}, C_{44}, C_{33} を等方性弾性体に比べ半分の値とした。

Fig. 1, 2 によるこ一般に分割数が増すに比し、精度が向上する。また、変位ヒビベ、応力の精度が境界近傍で悪い。今後の課題点であろう。しかし、要素工の密度を一定であり、境界が立方体であるような条件で計算を簡略化したため、ある程度は誤差はやむを得まい。なお、当日は等方性弾性体に近い条件での計算結果の検討、おまけトニネル切羽周辺での応力・変位解析結果を発表したい。

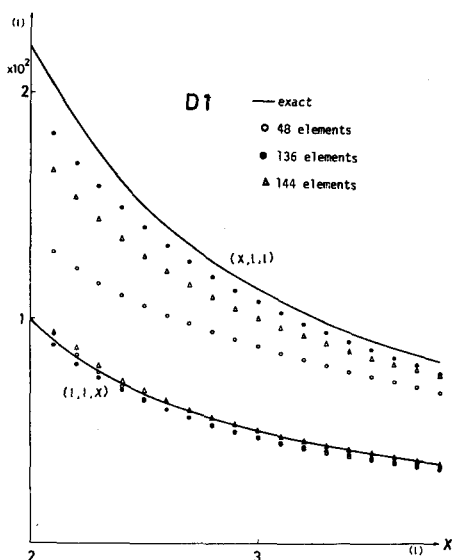


Fig. 1 $(x, l, l), (l, l, x)$ における x_1 方向への変位 D_1 の検討。

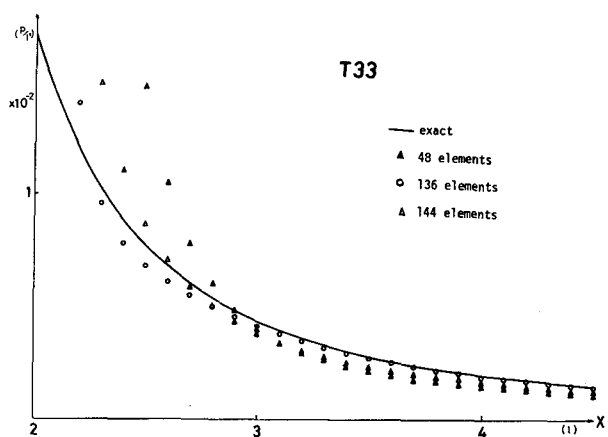


Fig. 2 (x, l, l) における C_{33} の検討。

